



# 焊接变形的工艺选择

錢祖尼編著 科學技術出版社

76  
87

# 焊接变形的工艺选择

錢祖尼編著

科学技術出版社

## 內容提要

本書介紹焊接變形的理論和一部分經驗資料，敘述焊接過程中和冷卻後產生變形的原因，以及焊接變形的計算方法。作者從工藝的角度提出了防止和矯正變形的方法及其必要計算。這些計算都是從理論分析開始而後密切聯繫生產實踐的，因而是確定焊接工藝時的重要參考資料。

本書供設計與製造焊接結構的工程技術人員參考，也可供焊接專業在講解焊接應力和變形時作參考。

## 焊接變形的工藝選擇

編著者 錢祖尼

\*

科學技術出版社出版

(上海南京西路2004號)

上海市書代售業營業許可證第073號

上海啓智印刷厂印刷 新華書店上海發行所總經售

\*

統一書號：J5119·613

開本787×1092 純1/32 · 印張3 15/16 · 字數82,000

1958年1月第1版

1958年1月第1次印刷 · 印數1—2,300

定價：(10)0.60元

## 序

中国机械工程学会大连分会让我和大连市的焊接工作者谈一下焊接变形的工艺选择问题和汇报一下研究强制变形的某些初步结论，这些问题当前是焊接结构生产中十分重要的问题。现在已经结束了这一系统的学术讲座，学员们要求把这些材料印出来作为日常生产中的参考，因此借此机会把它整理成这本小册子。

焊接变形是一个十分复杂的問題，也是工艺工作上十分头痛的問題，作者虽然作了一些工字梁、箱形梁和桁架梁的研究，但是还是十分不够的；某些結論还是初步得出的，尚需进一步加以考查，因而这里提出的作者观点在使用中应注意。

为了使这本小册子能比較系統全面起見，这里摘譯了某些資料。

为了使这本小册子能有助于生产，某些数字在使用前应进行試驗和校正。在这里謹向参与試驗的茅佩珍同志、賀長生同志、工友王福云同志致謝，并向大连起重机器厂装配焊接第二工段（焊接车间）的全体同志致謝。

小册子的写作虽化了一年时间，但整理时间还是仓促的，因而錯誤是难免的，希望同志們指出。

錢祖尼 大连起重机器厂 1957年

## 目 录

### 序

緒言	1
一、焊接应力的性質和分类	4
二、焊接加热时机械性能和塑性的变化	7
三、杆件均匀加热时的应力和变形	10
四、沿平板边缘加热的应力和变形	19
五、焊接規范对变形的影响	31
六、总的变形的計算	37
七、局部变形的計算	51
八、焊接工艺参数的影响——防止变形的措施	61
九、焊接变形的矯正	86
十、焊接收縮余量的計算	97
十一、焊接应力和热裂縫和变形的关系	107
十二、結束語	119
十三、参考文献	121

## 緒 言

我国自从 1955 年一机部在哈尔滨召开了第一次焊接會議以后，在各个工业战线上，焊接已蓬勃的发展起来了，焊接事业正在大踏步前进。

电弧焊接已成为我国經濟建設中不可或缺的工艺方法了。自动电弧焊已在我們國內开始普遍应用，焊接已經成为造船、机車、重型机械、起重机、鍋炉、桥梁等方面制造的重要和主要方法。在我們的祖国里，已出現了大量以焊接为主的大型金属結構工厂和大型金属結構車間。哈尔滨，天津，清华，交通諸高等学校已有較大的焊接教研室（組），焊接研究所已在哈尔滨宣告成立，这都表示着我們焊接事业的大踏步前进。

目前已有很多工厂能制造优质厚涂料焊条以及自动焊接用熔剂。例如大连起重机器厂，大连机車車輛厂，鞍山金属結構制造工厂等都能制造 K-2 熔剂和 Э-42、Э-42A、Э-50A 等焊条。此外上海电焊机厂等亦能生产若干牌号的手弧焊机、仿苏 ПНР-5 型半自動电焊机，以及仿苏 АДС-1000-2 型、УТ-1250 型的自动电弧焊接机，还有一些接触焊接机。这一些都給发展焊接工艺創造了物质基础。

此外，冶金部門亦开始为焊接生产創造条件，煉制各种焊条用和自动焊用焊絲以及煉制供焊接用的鎮靜鋼板。

很多工厂在苏联或其他兄弟国家的帮助下，已經拥有最新

的焊接设备，如电渣焊机、自动三相焊机、自动切割机等，因而不少工厂已开始掌握最新技术。

但是，尽管焊接事业在国内大踏步前进，在焊接工艺上的问题，也就是焊后的变形问题仍未有所改变。由于焊接结构生产的发展很快，因而焊接变形便成为当前刻不容缓要求解决的问题了。

人所共知的，金属的焊接是一个复杂的冶金过程，因为焊接具有很多特点，首先是以下三点：

- 1) 焊接过程中的不均匀加热和冷却；
- 2) 焊接过程中存在固相和液相的转化，并且在十分短的时间发生；
- 3) 焊件经过加热后会有组织上的组织变化。

由于焊接具有这些特点，因而在焊后会存有残留的应力和变形。这些特点是肯定的，因而残余变形是必然会有的，问题却在于用工艺的方法加以限制和利用，这就是我们要研究的问题。

在工艺角度上看，焊接变形是主要的，因而对变形的产生、确定、防止和矫正必须加以详尽的研究，但是焊接应力及热裂纹是和变形有密切联系的，因而也必须加以相应的研究。

焊接变形的计算，目前有三大学派。为了生产上切合实用，应以方便和正确相结合的原则来选择；因而以奥凯尔勃隆教授的焊接规范计算法为最好。热裂纹理论虽有二大学派，但考虑到联系变形问题较好，那么以普罗霍洛夫的机械观点为主来讨论。

焊接变形的工艺选择是焊接结构制造前确定工艺方案时必须考虑的问题，因而每个工艺师都必须十分熟悉这些选择的原

則。當然，工藝師們在選擇時的經濟觀點必須重視，但這裡却無法提到。這裡我們只能介紹焊接變形選擇的技術方面和工藝方面。

## 一、焊接应力的性質和分类

人們都熟知金屬在焊接時會產生內應力和結構的變形，其主要原因是焊接時加熱的不均勻和未加熱部分的剛性所形成。

金屬在集中高溫加熱時，隨著溫度的升高而其機械性能亦有變化。由於加熱部分和不加熱部分的不同膨脹，就會產生熱

應力和熱變形。如果熱應力超過屈伏點，則膨脹和收縮過程將是不可逆的，這種不可逆過程的結果，形成殘留應力和殘留變形，這就是焊接結構內應力和變形的基礎。

取一平板（圖1），把它分成三部分，即1-2-3，長度為 $l$ ，假定這三部分的界面上可以自由滑動。當我們在板條2上加熱時，板條2要伸長 $\Delta l_2$ ，這時板條2的全長為 $l + \Delta l_2$ ，而板條1和3仍為 $l$ 。實際上板條1-2-3是不能滑動的，是不可分離的整体，因而在板條2上加熱以後，全長既不是 $l + \Delta l_2$ ，也不是 $l$ ，而是 $l + \Delta l$ 。對於板條1和3則拉長了 $\Delta l$ ，而板條2則壓縮了 $(\Delta l_2 - \Delta l)$ 。

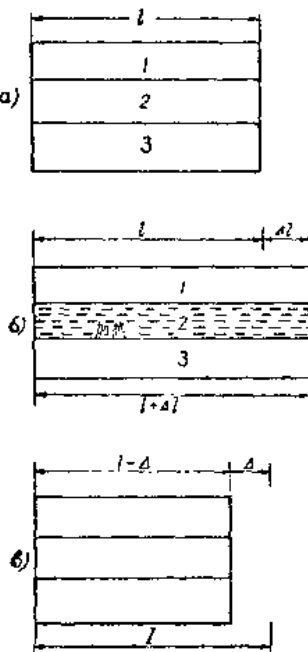


圖1 平板不均勻加熱的  
應力和變形

在上述情况下， $\Delta l$  叫做可见变形或外变形。其中，板条 1 和 3  $\Delta l$  既是外变形又是内变形，而板条 2 的内变形为  $(\Delta l_2 - \Delta l)$ 。显然，板条 1 和 3 是受拉的而板条 2 是受压的。

由于板条之间存在着内变形，则亦存在着内应力，内应力的大小和方向决定于内变形的大小和方向。

对于板条 1 和 3，内变形为  $\Delta l$ ，则内应力为：

$$\sigma_{1,3} = -\frac{\Delta l}{l} \cdot E \text{ (拉应力)}$$

对于板条 2，内变形为  $(\Delta l_2 - \Delta l)$ ，则内应力为：

$$\sigma_2 = \frac{\Delta l_2 - \Delta l}{l} \cdot E \text{ (压应力)}$$

如果应力  $\sigma > \sigma_s$ ，则构件会发生塑性变形，变形就成为不可逆；其实，在焊接条件下（用电弧或气焰），由于高温集中加热，在受热区始终保持  $\sigma > \sigma_s$  的，因而变形是不可逆的，也就是说，残留应力和变形是不可避免的。

由于塑性变形的存在，上述加热平板在冷却后的长度不再是  $l$  而是  $(l - \Delta)$  了，也就是加热后使板缩短了  $\Delta$ ；至于  $\Delta$  的大小将在下面加以研讨。

因此，在焊接时所产生的内应力亦称为焊接应力，焊接应力相互并存的是焊接时所产生的内变形和外变形，我们仅将外变形称做焊接变形，这种焊接变形亦称为残留变形，或简称变形。

焊接时所产生的变形可以分为两大类，即局部的和总的变形。所谓局部的变形是指这种变形不及于整个结构而仅发生于某一局部，例如角变形和波浪形。所谓总的变形是指焊接时产生的遍及整个结构的变形，例如挠度和扭曲。

焊接结构的变形过大会影响结构的使用，例如结构壁板的波浪形，就可能使结构在承受不大的压应力时丧失稳定性或引起附加的塑性变形。因此，在设计和制造中必须设法使结构的变形最少，这种措施将在以下各节中加以叙述。但是，由于影响焊接变形的可变条件过多，如时间、温度、机械性能发生变化、相的变化（固相变到液相）等，这一些都使焊接变形的计算复杂化，就不能以一般的数学方法进行，而只能假定若干条件，然后进行近似计算。在苏联，曾经有过不少学者进行了变形计算的研究。如瓦洛格金，奥凯尔勃隆，尼古拉也夫等人在焊接应力和变形的研究上都有一定的理论和实践上的贡献。自从雷卡林建立了热计算理论以后，焊接变形的研究又有了强力的理论基础，并且奥凯尔勃隆又有了新的贡献。

焊接时所产生的内应力，按照魏德门在1927年提出的应力分类法，可以分为三大类：

### 1) 宏观应力——第一类应力

宏观应力亦称区域应力，由于结构在某区域内进行集中加热而造成整个结构内存有的应力叫做区域应力；这种应力所形成的裂縫可以用目测发现，因而亦称宏观应力或第一类应力。在焊接时，这一类应力是主要的，又根据应力的方向性不同，第一类应力又可分为纵向的和横向的两种。

### 2) 微观应力——第二类应力

作用在一个或几个金属晶界上的应力叫做微观应力，亦称第二类应力。这是由于淬火时在显微区产生的物理化学变化或体积变化而造成的。微观应力会造成显微裂縫。低碳钢焊接可以不考虑这种应力。

### 3) 超微观应力——第三类应力

作用在晶格之內的应力叫做超微观应力或第三类应力。这对焊接來說更为少見，但对高碳鋼和高合金鋼焊接时仍有产生。超微观应力会造成超显微裂縫。但是，这种应力可以借时效而消除之（ $120^{\circ}\text{C}$ , 600 小时时效）。

我們將不对第二类应力和第三类应力进行研究，因为它們对焊接的关系不大，特別对于低碳鋼來說更沒有必要，因此，我們在下面只提到第一类应力。

## 二、焊接加热时机械性能和塑性的变化

在焊接时，由于对金属的加热溫度很高而使机械性能起剧烈的变化，这种变化涉及到金属的热物理性（密度、线膨胀系数等）和强度特性。在焊接这样一个短的时间内，金属的变化将是：开始时金属完全是彈性的和硬的，而焊接終了时金属是塑性的了，因此在焊接終了时只要經受較小的力，金属就能变形了。如果我們忽視了加热时金属的塑性变化过程，那么，一切計算將会不正确了。

因而，对于鋼从彈性到塑性之間隨溫度而变的强度特性必須予以闡明。

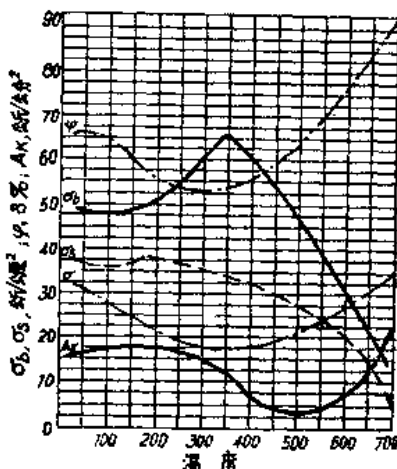


图 2

图2是由CT-3或CT-4钢用Ø-50A焊条焊接后的极限强度 $\sigma_b$ ，屈伏点 $\sigma_s$ ，冲击值 $A_k$ ，延伸率 $\delta$ 和断面收缩率 $\varphi$ 等与温度的关系。

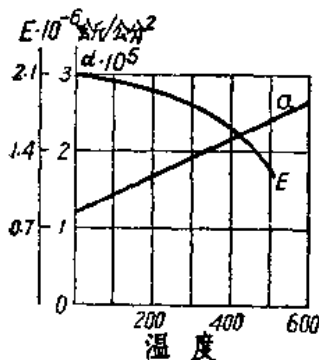


图 3

对于其他牌号結構鋼亦具有类似的性質。

鋼的彈性系数 $E$ 在500~600°C时几乎变化到零值(見图3)，而線膨胀系数 $\alpha$ 則隨溫度升高而升高(見图3)，由于 $E$ 的降低和 $\alpha$ 的升高，对于低碳鋼說來在500°C以下时， $E \cdot \alpha$ 的乘积却近乎不变，则

$$E \cdot \alpha = \text{const} = 2.1 \times 10^6 \times 1.2 \times 10^{-5} \approx 25 \text{ 公斤/公分}^2$$

由于鋼的塑性隨着溫度升高而急剧降低，因而在开始加热时，試样的断面收缩率有不大的降低后，当溫度超过250~300°C时迅速上升。

在溫度250~300°C时，金属的可變形性能大大降低，在这种情况下会引起藍脆，因此，焊縫在冷却到100~300°C时会形成溫裂縫。

隨着溫度的升高，金属的塑性大大提高，在溫度700~800°C或更高时，金属具有更大的塑性，此时金属可以进行压力加工即軋制、煅造、冲压等。

鋼的主要特性之一是加热时极限强度 $\sigma_b$ 和屈伏点 $\sigma_s$ 的变化。

对于低碳鋼來說，屈伏点 $\sigma_s$ 隨着溫度的升高而比較均匀地下降。当溫度为700°C时，其屈伏点約為原来的10%。

大部分的鋼，在 $300^{\circ}\text{C}$ 以下时强度极限不变，当溫度超过 $300^{\circ}\text{C}$ 时，强度极限下降，到 $700^{\circ}\text{C}$ 时其强度极限会低达原来大小的10~15%。

这样，可以認為大部分結構鋼在加热到 $550\sim 600^{\circ}\text{C}$ 时尚保持彈性和堅硬性，在加热到更高溫度时，鋼就軟化，并且就是在很小的外力作用下也会变形。

为了簡化計算，很多学者对屈伏点的变化作了不同的假定。其中以瓦洛格金和奧凱尔勃隆两人的假定为最适用。

两人認為在 $600^{\circ}\text{C}$ 时屈伏点可以認為零值，在零度时瓦洛格金取 $\sigma_s = 2,400$ 公斤/平

方公分，并認為屈伏点和溫度的变化沿抛物綫进行，見图4曲綫3；奧凱尔勃隆認為 $500^{\circ}\text{C}$ 以下可認為屈伏点不变，取 $\sigma_s = 2,200$ 公斤/平方公分，而 $500\sim 600^{\circ}\text{C}$ 間呈直綫下降（如图4曲綫2）。曲綫1是实际变化曲綫。

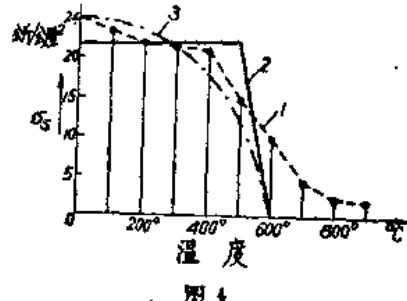


图4

根据瓦洛格金的方法，任何溫度 $T$ 下的屈伏点

$$\sigma_s^T = 2,400 - \frac{T^2}{150} \text{ 公斤/公分}^2$$

根据奧凱尔勃隆的方法

$$T \leq 500^{\circ}\text{C} \quad \sigma_s^T = 2,200 \text{ 公斤/公分}^2$$

$$500 < T < 600^{\circ}\text{C} \quad \sigma_s^T = 22(600 - T) \text{ 公斤/公分}^2$$

$$T \geq 600^{\circ}\text{C} \quad \sigma_s^T = 0$$

### 三、杆件均匀加热时的应力和变形

前面已經提到一个平板由于集中的不均匀加热，那么平板会产生殘留的应力和变形。如果是一个杆件，那么我們在杆件上加热时可以認為沿杆件断面是均匀加热的，因而杆件加热时的应力和变形和平板有所不同，下面將杆件在不同緊固情況下受热后所产生的应力和变形加以分析。

#### 1) 自由状态下的杆件加热

杆件具有直徑  $d_0$ ，長度  $l_0$ ，原始溫度  $T_0$ ，体积  $V_0$ ；我們假定杆件并无热交換的存在，当杆件完全处于自由状态时进行加热和冷却。如果杆件經過加热和冷却这一热循环以后，其几何形狀变为  $d'_0$ ,  $l'_0$ ,  $V'_0$ ；則由于溫度  $T$  升高的变化見下表所示

比較項目	加 热 前	加 热 $T^{\circ}\text{C}$ 时	冷 却 后
溫 度	$T_0$	$T_T = T_0 + \alpha T$	$T_0$
長 度	$l_0$	$l_T = l_0(1 + \alpha T)$	$l'_0 = l_0$
直 徑	$d_0$	$d_T = d_0(1 + \alpha T)$	$d'_0 = d_0$
体 积	$V_0$	$V_T = V_0(1 + \beta T)$	$V'_0 = V_0$

表中的綫膨胀系数  $\alpha$  和体积膨胀系数  $\beta$  采用常数，但这并不妨害上表中的結果，当精确計算时， $\alpha$  和  $\beta$  都應該取溫度  $T$  的函数。

由此可見，杆件在自由状态下均匀加热时不引起任何殘留应力和变形，并且只要在固态下，不受溫度的限制。

#### 2) 杆件两端在加热时膨胀受阻的情况

上述的杆件，其几何尺寸为  $d_0$ ,  $l_0$  和  $V_0$  时，自温度  $T_0$  加热到  $(T+T_0)$ ，如果在加热膨胀过程中，杆件的两端为固定壁所限制；但是，在冷却时收缩却不受限制，这种杆件加热的情况就大大不同于上面所述自由状态的情况，关于两端有固定壁限制的杆件均匀加热时的应力和变形见图 5 所示。

在温度升高时，杆件将伸长，其热伸长量  $\lambda = \alpha T$ ，假定  $\alpha$  不变，则  $\lambda = \alpha T$  是一条直线。 $\Delta$  为可见变形——缩短（系相对缩短之简称，下同）。

然而由于两端受固定壁的限制，杆件要伸长是不可能的，那么开始加热时起，在杆件中就产生压缩弹性变形（图 5 中的 0—1 线），并且在杆件中有压应力。其值可由虎克定律求得之。

$$\sigma = \varepsilon \cdot E = \alpha T E$$

前面已经说过  $E \cdot \alpha = \text{const} = 25 \text{ 公斤/公分}^2$

$$\therefore \sigma = 25 T \text{ 公斤/公分}^2$$

由此可见  $\sigma-T$  亦是直线关系。在图 5 的下部的 0—1 线便是

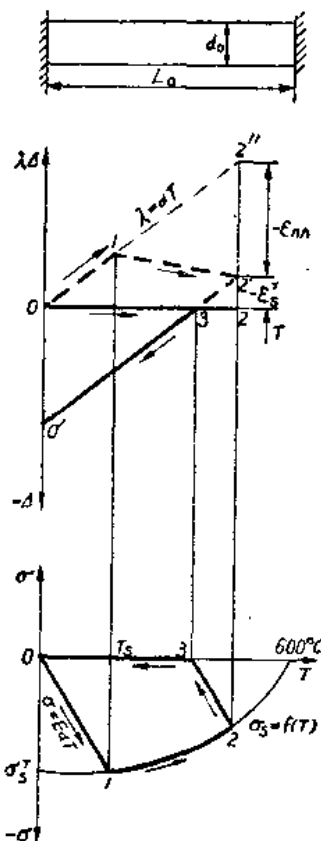


图 5 两端有固定壁限制的杆件均匀加热时的应力和变形

表示这一点的。当加热到  $T_1$  时，压缩应力增长到该温度时的屈伏点  $\sigma_s^T$ （点 1），其相应的应变以  $\varepsilon_s^T$  表示之。

对于低碳钢来说，在常温下的屈伏点实际上为 2,400~2,500 公斤/平方公分，当杆件处于绝对刚性时， $T_1$  可由下式计算之：

$$T_1 = \frac{\sigma_s}{E\alpha} = \frac{2,400 \sim 2,500}{2.1 \times 10^6 \times 1.2 \times 10^{-5}} \approx 100^\circ\text{C}$$

换言之，当杆件处于绝对刚性时，温度升高  $100^\circ\text{C}$ ，杆件就失去弹性了。

当温度超过  $T_1$ ，继续升高时，杆件将产生塑性变形，这时就不再沿直线 0—1 上升，而是沿曲线 1—2' 和曲线 1—2（下部）变化了，曲线 1—2' 系在直线 0—2'' 和 0—2 之间，曲线 1—2' 系在各该温度下相应于屈伏点的应变  $\varepsilon_s^T$  值。

当温度超过  $T_1$  时，杆内的应力将保持在各该温度的屈伏点上，当然，屈伏点是随着温度上升而减少的（见上节），此时，屈伏点是温度  $T$  的函数  $\sigma_s^T = f(T)$ ，随着温度的升高，屈伏点即按此曲线均匀地变化（见图 5 的应力图）。

在加热到  $T_2$  时，杆的体积应变大，但长度由于二端的限制而不变，即  $L_r = l_0$ ，因而直径就变大，并且比自由状态时的大。

当温度到达  $T_2$  时停止加热，因而其温度开始下降。随着冷却，杆的体积变小，长度亦缩短，相应地杆内的压缩应力亦减小，一直减小到弹性范围内（线 2—3）。压缩应力的减少是呈直线形的。2—3 线还平行于 0—1 线 ( $\sigma = E\alpha T$ )，在点 3 应力和变形均为零值，但此时尚未全部冷却。因而在继续冷却时将使杆件缩短。但并无内应力产生（线 3—0）。当温度降到原始温度  $T_0$  时，杆件长度较原来为短，杆件将有残留变形。但是经过热循环